

LE PRESSIONI APPLICATE ALLE PARETI DEI SILI -¹⁰⁻

- POZZATI (VOL 1, CAP IV, pp 136-162)

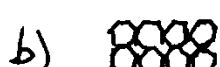
Sono i materiali immagazzinati nei serbatoi non sono fluidi ma GRANULARI e/o PULVIRULENTI, in tal caso le azioni che trasmettono alle pareti non sono solo costituite da una pressione ortogonale alle pareti ma hanno una importante azione tangenziale da tende ad aumentare le azioni membraniche sulle pareti.

I sili sono in particolare magazzini attrezzati per ricevere e scaricare materiale, costituiti in genere da celle circolari o poligonali.

E' detta "tramoggia" la parte inferiore delle celle forate con l'estradano in pendente sotto allo scorrimento di terra di trasporto. Le celle siano sono pensate per favorire l'ecceso agli autocarri.

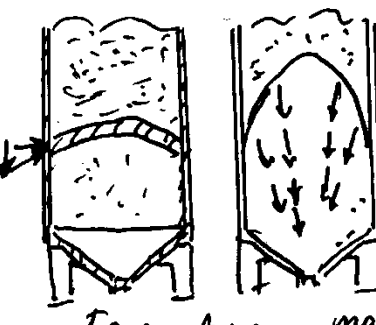
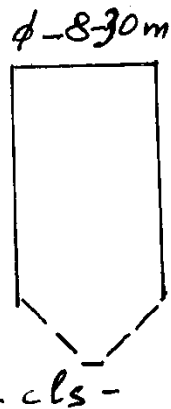
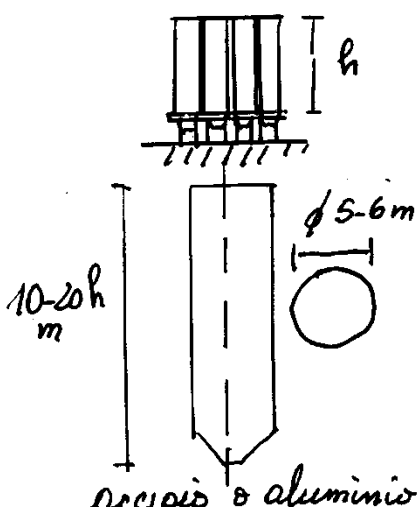


a) celle circolari.



b) " esagonali.

c) " rettangolari.



mat granulari
in quiete

mat granulari
in oscillazione

3.3.4. Pressione attiva: il terreno preme contro una parete ruvida.

Considerato l'elemento di terreno 1-2-3-4 (fig. 3.12), pensiamo che, nella situazione di equilibrio estremo, l'azione risultante applicata alla faccia 1-2, a contatto con la parete, sia inclinata rispetto all'orizzontale (dell'angolo di attrito δ fra il terreno e la stessa parete).

Lo studio presenta notevoli analogie con quello precedente, relativo al piano limite inclinato: considerate le due rette r_1, r_2 inclinate di $\pm \varphi$, si ha che, nel circolo limite di Mohr tangente a r_1, r_2 , il punto A_w , rappresentante lo stato di tensione per la sezione 1-2,

deve trovarsi sulla retta inclinata di δ , essendo $\tau_{wy} = \sigma_w \operatorname{tg} \delta$ (positiva secondo la convenzione connessa con il circolo di Mohr); il punto A_y , diametralmente opposto a A_w , fornisce le tensioni applicate alla faccia 1-4. Interesserà conoscere, in merito ai problemi riguardanti i sili, il rapporto $\lambda = \frac{\sigma_w}{\sigma_y}$.

Allora, detto r il raggio del circolo e ammessa per semplicità nulla la coesione, $\sigma_w = \overline{OC} - r \cos \beta = \overline{OC}(1 - \operatorname{sen} \varphi \cos \beta)$, $\sigma_y = \overline{OC}(1 + \operatorname{sen} \varphi \cos \beta)$ (fig. 3.12), risulta

$$\lambda = \frac{\sigma_w}{\sigma_y} = (1 - \operatorname{sen} \varphi \cos \beta) : (1 + \operatorname{sen} \varphi \cos \beta). \quad [3.17]$$

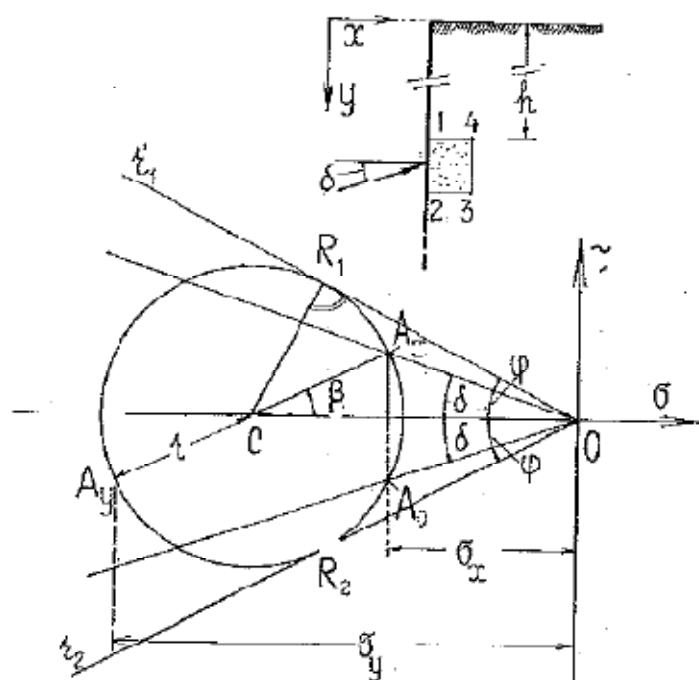
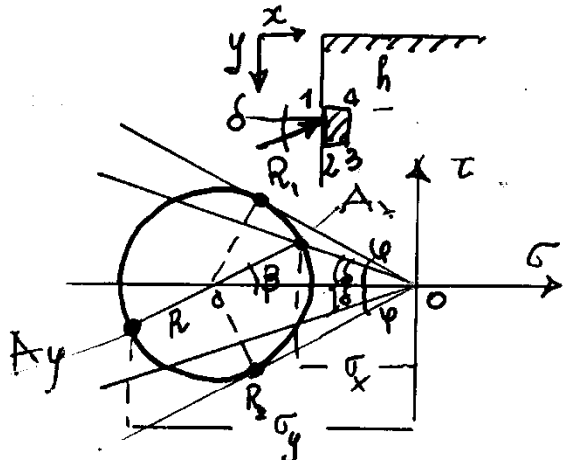


Fig. 3.12

- 1 -

PRESSIONE ATTIVA DEL TERRENO CONTRO UNA PARETE RUVIDA. (Ponati 1.3.3.4 pagg 68-71)

- TEORIA DI RANKINE.



φ = angolo di attrito interno
 δ = " " " fra terreno e parete
 coesione $c = 0$

Il cerchio limite di Mohr è tangente a R_1 ed R_2 al cono di Coulomb.

A_x stato di tensione sulle rette 1-2, dove trovarsi sulle rette inclinate di δ ($< \varphi$) avendo $\tau_{xy} = \sigma_x \tan \delta$
 A_y stato di tensione sulla faccia 1-4 ruotata di 90° .

Per i simili interessi il rapporto

$$\lambda = \frac{\sigma_x}{\sigma_y}$$

$$\sigma_x = OC - R \cos \beta$$

$$\sigma_y = OC + R \cos \beta$$

$$\lambda = \frac{\sigma_x}{\sigma_y} = \frac{1 - \sin \varphi \cos \beta}{1 + \sin \varphi \cos \beta}$$

$$\Rightarrow \text{dal triangolo } A_x < 0 \quad \frac{1 - \sin \beta \cos \varphi}{\cos \delta \sin \varphi} = \frac{\sin \beta}{\sin \delta}$$

$$\Rightarrow \lambda = \frac{1 - \sin^2 \delta - \cos^2 \delta \sqrt{\sin^2 \varphi - \sin^2 \delta}}{1 + \sin^2 \delta + \cos \delta \sqrt{\sin^2 \varphi - \sin^2 \delta}} \quad (\text{Formula di CAMIZ})$$

Per i terreni di adatto $\frac{1}{3}\varphi \leq \delta \leq \frac{2}{3}\varphi$ -20-

per i mezzi granulari

in regime statico (m guida) $\delta_s = \varphi$ porosi molto scarsi

$$\delta_s = \frac{3}{4}\varphi \quad " \text{med. ca}$$

Per i cerchi $\varphi \approx 30^\circ$ e $f_s = \tan \delta_s \approx 0,41 \Rightarrow \lambda_s \approx 0,45$

In regime dinamico

(all'atto dello scarico) $\delta_d = 0,8 \delta_s$

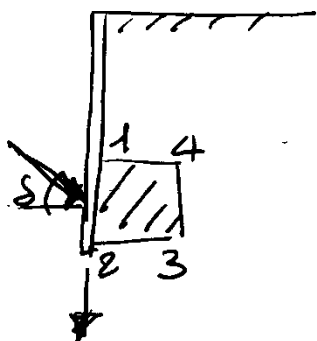
$$\text{e } 20^\circ \leq \varphi \leq 45^\circ \Rightarrow 0,6 \leq \lambda \leq 1$$

se $\varphi \approx 30^\circ$ e porosi fitti (sali metallici)

$$\delta_d = 0,6\varphi = 18^\circ, f_d \approx 0,32, \lambda_d \approx 0,9 \lambda_s$$

Attenzione

Può capitare nel caso di cedimenti delle fondamenta
delle pareti che $\delta < 0$ (Attivo negativo)



Nel caso particolare di pareti molto
scarsi ($\delta \approx \varphi$) la formula di Camozzi diventa:
(BUISHAN)

$$\lambda = \frac{(1 - \sin^2 \varphi)}{(1 + \sin^2 \varphi)}$$

LA SOLUZIONE DI JANSEN (1895) e KOENEN - 21 -

A = area see. interna del silos

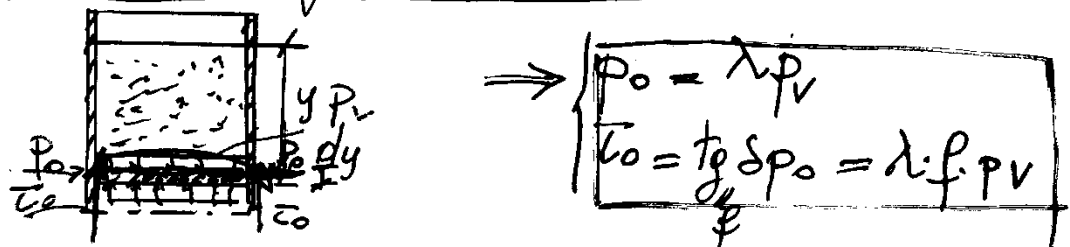
l = lunghezza del perimetro interno

γ_1 = peso specifico del materiale

φ = angolo di attrito interno

δ = angolo di attrito fra il materiale e la parete

Ipotesi di Janssen: la pressione verticale (p_v) sia distribuita uniformemente nella sezione



L'eq. della traslazione verticale per lo strato di spessore dy

$$\Rightarrow -dp_v \cdot A - t_o l dy + \gamma_1 A dy = 0$$

$$\Rightarrow \frac{dp_v}{dy} + \frac{\lambda f l}{A} p_v - \gamma_1 = 0$$

posto $y = \frac{A}{\lambda f l} e$ = profondità caratteristica

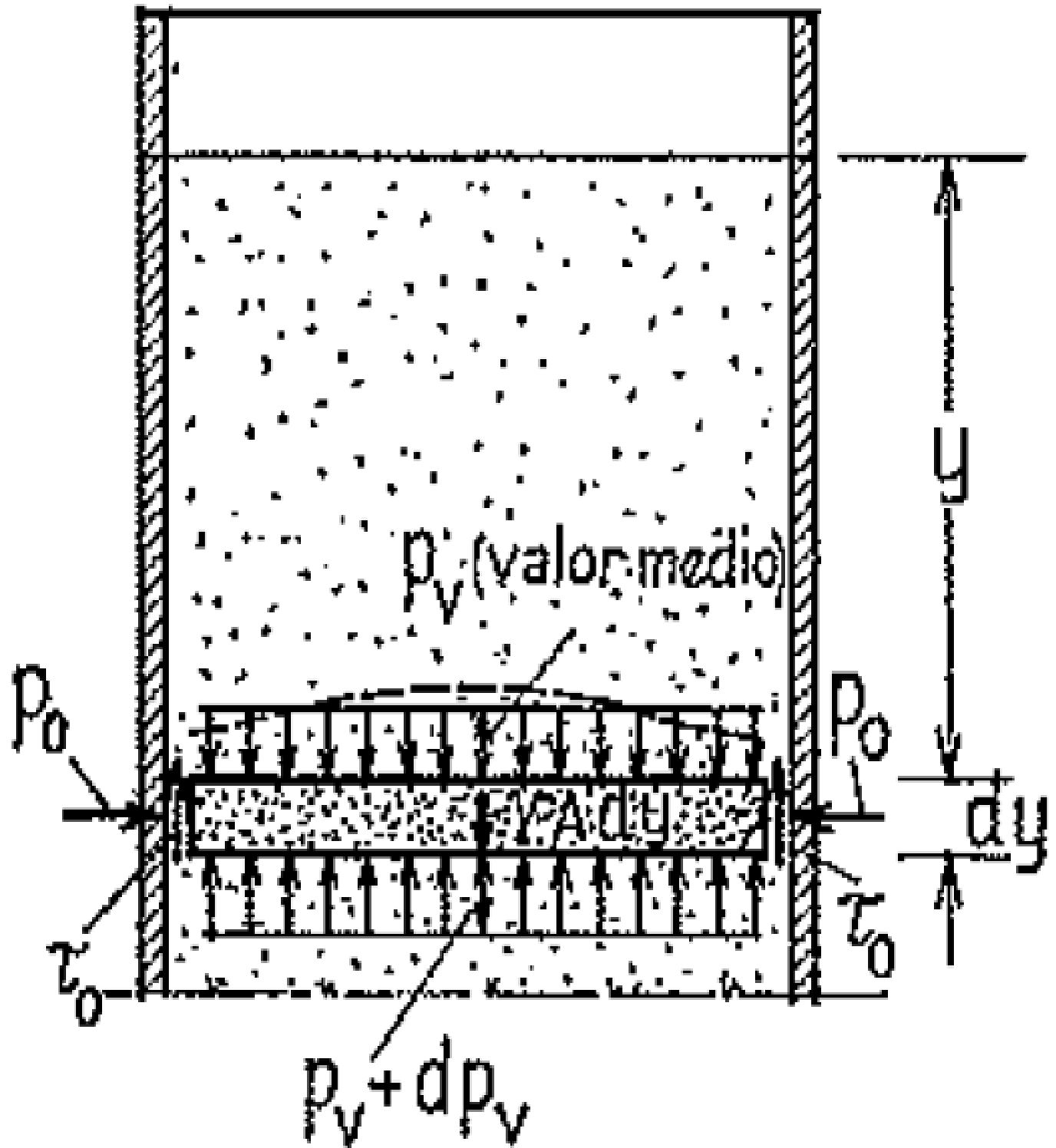
$$\Rightarrow \frac{dp_v}{dy} + \frac{p_v}{y_0} - \gamma_1 = 0 \quad \begin{pmatrix} \text{la condizione ai limiti.} \\ \text{è del tipo} \\ p_v = 0 \text{ per } y = 0 \end{pmatrix}$$

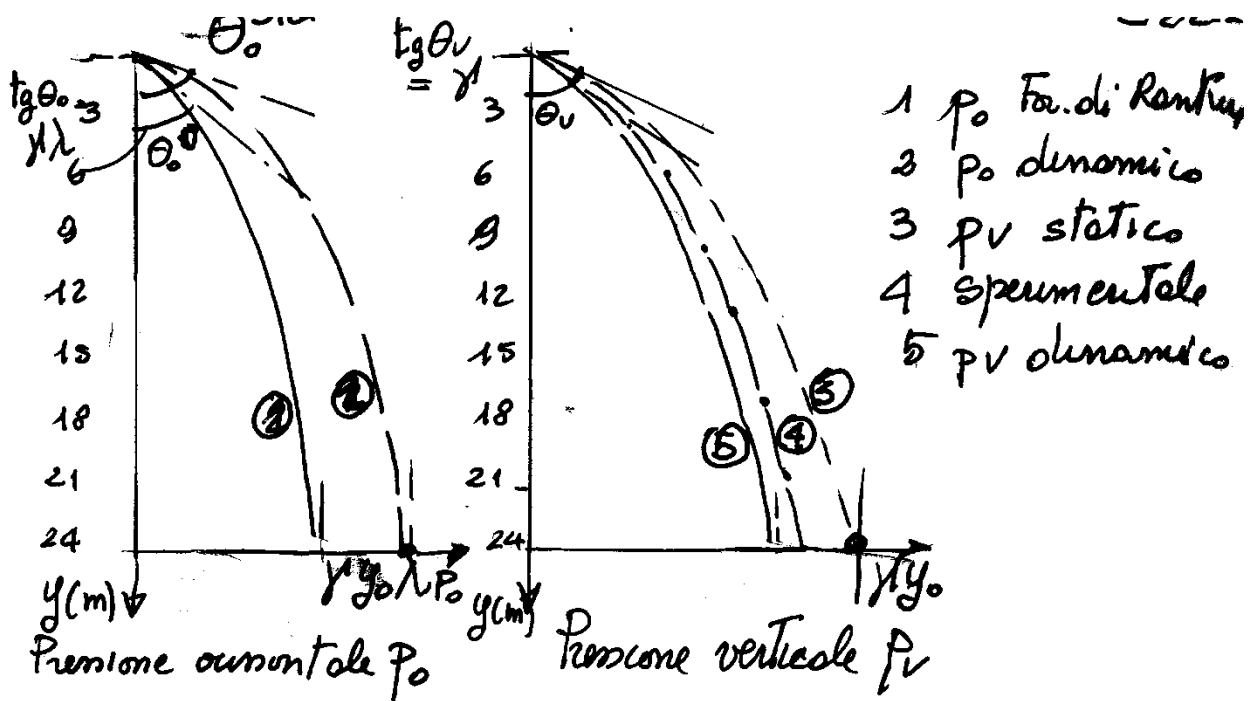
e la soluzione è del tipo $\psi(y)$

$$p_v = \gamma_1 y_0 \left(1 - e^{-y/y_0} \right)$$

Le pressioni p_v e p_o tendono ad aumentare fino ad valori limite ($y \rightarrow \infty$)

$$p_v = \gamma_1 y_0, \quad p_o = \gamma_1 y_0 \lambda = \frac{f A}{f C}$$





(si veda Pozzati e le diverse normative)

Situazioni limite

$P_0 \text{ mat} = \text{Verifica per } n_0$

$P_v \text{ mat} = \text{Verifica } n_v$

(estabilità rettangolare)

$T_0 \text{ max}$

Per mat. granulari - tipo cereali.
e per silos circolari.

$$Y_0(\text{statico}) \approx 2,7 R$$

$$Y_0(\text{din}) \approx 1,7 R$$

Per materiali pulv. inerenti (farina)
la trazione orizzontale non è del tutto attuabile

Sembra possibile pone

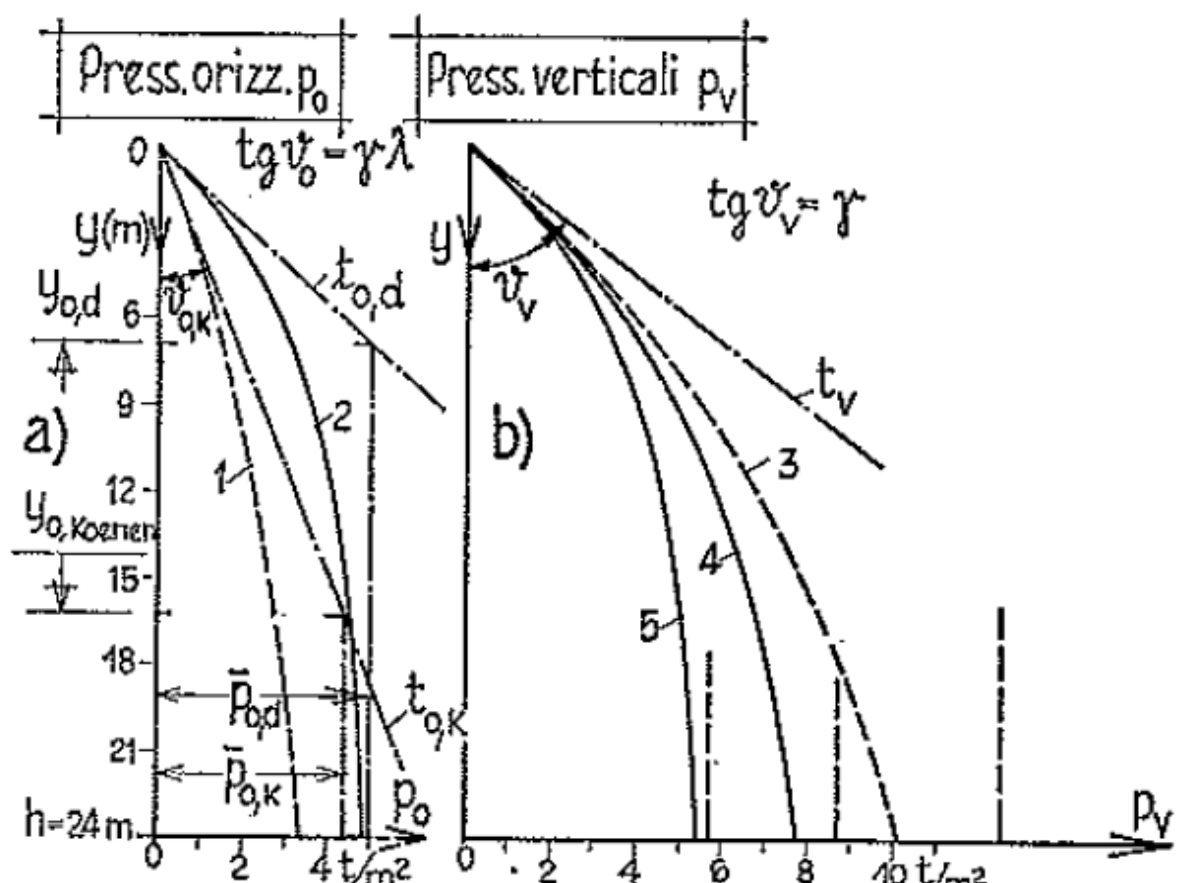
$$\lambda_s \approx 0,5 \quad \lambda_d \approx 1$$

$$S_s = S_d = \varphi, \quad f_s = f_d = \tan \varphi$$

Attenzione - scarichi troppo rapidi: depressione $P_0 < 0$

Percolo di instabilità \Rightarrow crollo del silos





- 1, p_o secondo Koenen (Rankine). 3, p_v secondo Koenen (Rankine).
 2, p_o con scarico iniziato. 4, p_v con mater. "in quiete".
 5, p_v con scarico iniziato.

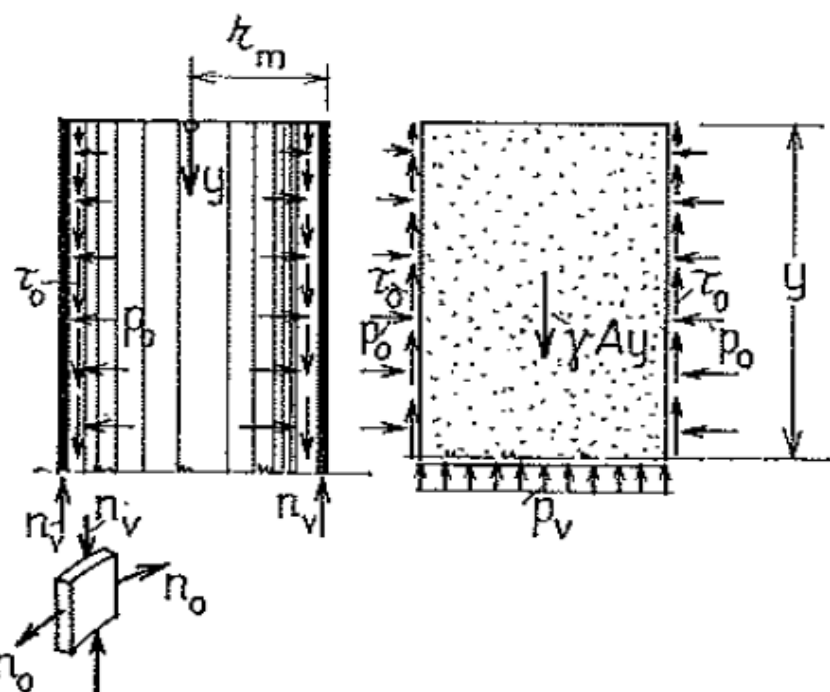


Fig. 4.4